

10. Григорьев В.И., Григорьева Е.В. // Вестн. Моск. ун-та. Физ. Астрон. 1995. № 1. С. 61 (Moscow University Phys. Bull. 1995. No. 1. P. 56).
11. Луна / Под ред. Г.А. Манова. М.: ГИФМЛ, 1960.

Поступила в редакцию 06.12.99

## АСТРОНОМИЯ

УДК 521.135

## ОБ УСТОЙЧИВОСТИ В НЕЛИНЕЙНОМ ПРИБЛИЖЕНИИ КОЛЛИНЕАРНЫХ ТОЧЕК ЛИБРАЦИИ В ПРОСТРАНСТВЕННОЙ ОГРАНИЧЕННОЙ ЭЛЛИПТИЧЕСКОЙ ФОТОГРАВИТАЦИОННОЙ ЗАДАЧЕ ТРЕХ ТЕЛ

А. Ю. Кочеткова

(ГАИШ)

**Впервые в нелинейном приближении исследованы области устойчивости коллинеарных точек либрации в ограниченной обобщенной фотогравитационной эллиптической задаче трех тел.**

Области устойчивости коллинеарных точек либрации были определены только в случае круговой фотогравитационной задачи в линейном приближении. В работе [1] было впервые установлено, что при определенных значениях параметров существуют области линейной устойчивости коллинеарных точек. Л. Г. Лукьянов в работе [2] установил области устойчивости этих точек для большинства начальных условий.

Постановка задачи, основные уравнения движения и метод нормализации гамильтониана, по коэффициентам которого можно сделать заключение об устойчивости коллинеарных точек либрации, подробно изложены в работе [3]. Перечислим только основные параметры задачи: эксцентриситет орбиты основных тел  $M_1, M_2$  —  $e \in [0, 1]$ ; массовый параметр  $\mu = m_2/(m_1 + m_2)$ , где  $m_1$  и  $m_2$  — массы этих тел) и фотогравитационные параметры  $Q_1$  и  $Q_2$ , которые, вообще говоря, могут принимать значения в диапазоне  $(-\infty, 1]$ . Роль независимой переменной выполняет истинная аномалия  $\nu$ .

Координаты коллинеарных точек либрации  $L_i(\alpha_i, 0, 0)$  ( $i = 1, 2, 3$ ) в системе координат Нехвила [4] находятся из формулы [5]:  $\alpha_i = \sigma_i - \mu$ , где  $\sigma_i$  — корни уравнения

$$\sigma_i - \mu \stackrel{+}{=} Q_1(1 - \mu)/\sigma_i^2 \stackrel{+}{=} Q_2\mu/\sigma_i^2 = 0. \quad (1)$$

Верхний знак в (1) соответствует точке либрации  $L_1$ , средний —  $L_2$  и нижний —  $L_3$ .

Нормальная форма функции Гамильтона в полярных координатах  $\rho_j, \theta_j$  ( $j = 1, 2, 3$ ) с учетом членов до четвертого порядка включительно по  $\rho_j^{1/2}$  будет иметь вид [6]

$$H = \lambda_1\rho_1 + \lambda_2\rho_2 + \rho_3 + A\rho_1^2 + B\rho_1\rho_2 + C\rho_2^2 + \\ + \rho_3(F_1\rho_1 + F_2\rho_2 + F_3\rho_3), \quad (2)$$

$$F_j = D_j + E_j \sin(2\psi) + G_j \cos(2\psi) + \\ + K_j \sin(4\psi) + L_j \cos(4\psi),$$

где  $\pm i\lambda_j$  — характеристические показатели линейной системы, причем  $\lambda_3 \equiv 1$ ;  $\psi = \theta_3 - \nu$ ;  $A, B, C, D_j, E_j, G_j, K_j, L_j$  являются константами при фиксированных параметрах задачи.

После этого проверяются условия устойчивости исследуемой точки либрации, полученные А. П. Маркесевым [6]:

1) условие достаточной устойчивости для большинства начальных условий: дискриминант

$$D = B^2 - 4AC \neq 0;$$

2) положение равновесия устойчиво при учете в нормальной форме (2) членов до четвертого порядка включительно, если  $F_3(\psi) \neq 0$  при любых значениях  $\psi$ .

Положение равновесия неустойчиво по Ляпунову, если существуют значения  $\psi$ , при которых  $F_3(\psi) = 0$ , но при этих значениях  $dF_3/d\psi \neq 0$ .

### Вычисления и результаты

Вычисления проводились с использованием численных и аналитических средств программирования языка MATLAB. Качественная зависимость области линейной устойчивости точки  $L_2$  от фотогравитационных параметров на плоскости  $e, \mu$  показана на рис. 1. Линия 1 соответствует значениям фотогравитационных параметров  $Q = Q_2 = 0,100$ , линия 2 — значениям  $Q_1 = Q_2 = 0,114$ , линия 3 —  $Q_1 = Q_2 = 0,122$ , линия 4 —  $Q_1 = Q_2 = 0,124$ .

В силу того что анализ нелинейной устойчивости требовал много машинного времени (расчет для одной точки занимал 10–20 мин в зависимости от значений параметров  $e$  и  $\mu$ ), исследование проводилось лишь для двух случаев:  $Q_1 = Q_2 = 0,100$  и параметров, соответствующих полуконтактной двойной звезде PY Peg. Результат вычислений для  $Q_1 = Q_2 = 0,100$  показан на рис. 2 в плоскости  $e, \mu$ .

На рис. 2 (так же, как и на рис. 3–5) жирной линией обозначена граница области линейной устойчивости, тонкими сплошными линиями — резонансные

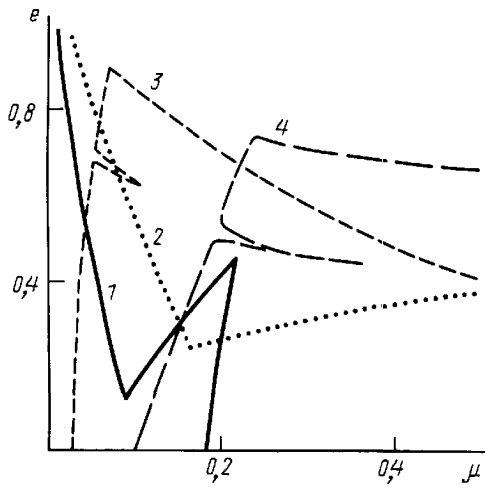


Рис. 1

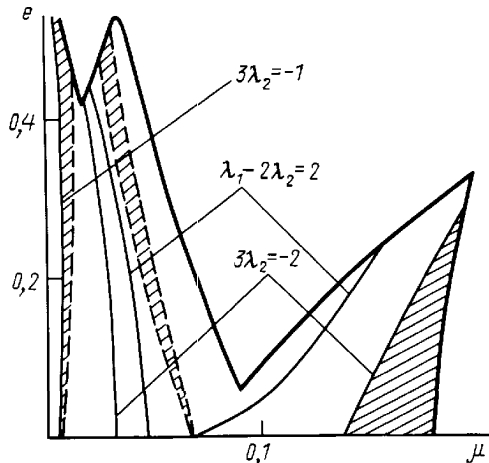


Рис. 2

кривые, заштрихованы области, в которых дискриминант  $D = B^2 - 4AC$  принимает отрицательные значения, штриховые линии соответствуют случаю  $D = 0$ , когда критерий устойчивости для большинства начальных условий не выполняется. Из рис. 2 видно, что вдоль резонансных кривых  $3\lambda_2 = -1$  и  $3\lambda_2 = -2$  также проходят линии  $D = 0$  и, следовательно, не выполняется условие устойчивости для большинства начальных условий. Параметры орбиты PY Per взяты из каталога [7]:  $e = 0,48$ ,  $\mu = 0,17$ .

Фотогравитационные параметры  $Q_1$  и  $Q_2$  изменяются в интервале  $[0, 1]$ . На рис. 3 изображена область устойчивости точки  $L_2$  в плоскости  $Q_1, Q_2$ . Часть этого графика представлена в увеличенном масштабе, откуда видно, что вблизи границ линейной устойчивости проходят линии нелинейной неустойчивости. Заштрихованы области, в которых  $D < 0$ , в незаштрихованных частях дискриминант положительный. На границе этих областей  $D = 0$  и критерий устойчивости для большинства начальных условий не выполняется. В областях  $D < 0$  выбраны две точки,  $P_1$  и  $P_2$ , и в плоскости  $e, \mu$  построены графики нелинейной устойчивости для соответствующих этим точкам фотогравитационных параметров (рис. 4, 5).

На рис. 4 ( $Q_1 = 0,020$ ,  $Q_2 = 0,374$ ) показано местоположение точки  $P_1$  (см. первую область  $D < 0$  на рис. 3). На рис. 5 ( $Q_1 = 0,020$ ,  $Q_2 = 0,385$ )

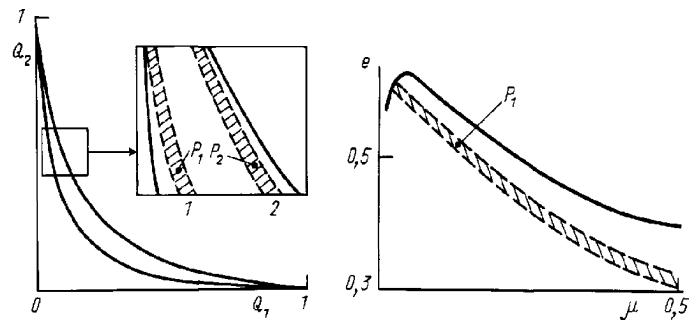


Рис. 3

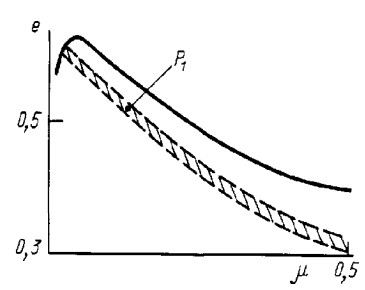


Рис. 4

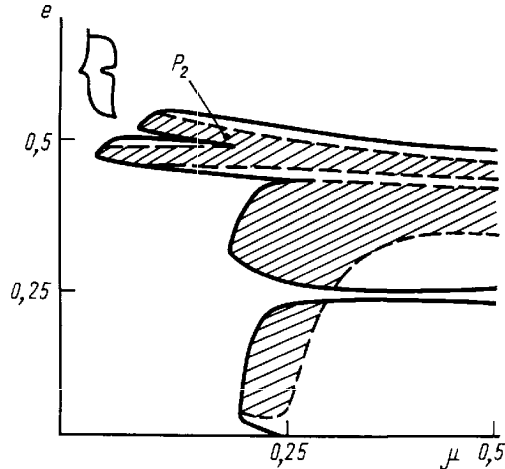


Рис. 5

спроектирована точка  $P_2$  из второй области  $D < 0$  рис. 3. Всюду для точки  $L_2$  функция  $F_3$  принимала положительные значения. Области устойчивости точек либрации  $L_1$  и  $L_3$  обнаружены не были.

### Заключение

Для данной задачи показана возможность устойчивости точки  $L_2$ . Проведен нелинейный анализ устойчивости этой точки для PY Per в плоскости  $Q_1, Q_2$ . Исследованы области устойчивости для большинства начальных условий коллинеарных точек либрации данной задачи в нелинейном приближении в плоскости  $e, \mu$ .

### Литература

- Куницын А.Л., Турешбаев А.Т. // Celest. Mech. 1985. **35**, № 2. Р. 105.
- Лукьянов Л.Г. // Астрон. журн. 1986. **63**, № 6. С. 1222.
- Кочеткова А.Ю. // Вестн. Моск. ун-та. Физ. Астрон. 1999. № 5. С. 69 (Moscow University Phys. Bull. 1999. No. 5. P. 90).
- Дубошин Г.Н. Небесная механика. Аналитические и качественные методы. М., 1978.
- Маркеев А.П. Точки либрации в небесной механике и космодинамике. М., 1978.
- Маркеев А.П. Препринт Ин-та прикл. математики. 1973. № 49.
- Свечников М.А. Каталог орбитальных элементов, масс и светимостей тесных двойных звезд. Иркутск: Изд-во Иркутск. ун-та, 1986.

Поступила в редакцию  
25.10.99